

Progetto per appello 11/02/2025

Metodi Formali per la Sicurezza A.A 2024/2025

Corso di Laurea Magistrale in Sicurezza Informatica

Università degli Studi di Bari "Aldo Moro"

Studente: Cellammare Gabriel

Attività

Si consideri il caso di un drone per la consegna di merci.
Risolvere i seguenti problemi:

- a) Adattare la codifica ASP del problema del commesso viaggiatore per poter trovare il percorso migliore di consegna delle merci. Scegliere una opportuna funzione di costo (ad es., distanza in tempo o in spazio fra i punti di consegna, oppure il consumo di batteria, etc) rispetto alla quale fare ottimizzazione.
 - b) Modellare in LTL/CTL le varie manovre del drone: decollo, atterraggio, hovering (stazionamento su una posizione per, ad es., attendere di poter atterrare o consegnare il pacco), consegna. Si richiede di considerare almeno un caso di non soddisfacimento delle proprietà implementate.
-

Il problema del commesso viaggiatore

Il problema del **commesso viaggiatore** (*Traveling Salesman Problem*, **TSP**) rappresenta uno dei più **celebri** e studiati problemi di **ottimizzazione combinatoria**¹ nella teoria della complessità **computazionale** e nella ricerca **operativa**. Tale problema fu formalizzato nel 1800 dal matematico irlandese *W. R. Hamilton* e dal matematico britannico *Thomas Kirkman*. **Hamilton rese celebre tale problema attraverso l'Icosian Game**, un puzzle basato sulla ricerca di un ciclo **hamiltoniano**, in cui l'obiettivo del gioco è trovare un percorso attorno a un **dodecaedro** tale che ogni **vertice** sia visitato una volta, nessuno **spigolo** sia visitato più volte e il percorso termini nello stesso **vertice** da cui è partito [1].

Tale problema venne poi affrontato negli anni '30 del **XX secolo**, quando **Karl Menger** – *noto matematico austriaco* - lo presentò a **Vienna**, descrivendolo come il problema di trovare il percorso più **economico** che un venditore dovesse seguire per visitare una **serie di città**, tornando infine al punto di **partenza**, minimizzando i **costi** di viaggio tra le città [2]. La natura del problema si presta ad una rappresentazione mediante **grafi**, dove le città sono rappresentate da **vertici** e i collegamenti tra esse da **spigoli** pesati, dove il peso

¹ L'**Ottimizzazione Combinatoria** (OC) studia i problemi di **ottimizzazione** in cui l'insieme ammissibile è definito in termini di strutture **combinatorie**, tra le quali svolgono sicuramente un ruolo di rilievo i **grafi**.

rappresenta il **costo** o la **distanza** del viaggio. L'obiettivo diventa quindi quello di determinare un **ciclo hamiltoniano** di costo **minimo** all'interno del **grafo**, ovvero un percorso che visiti ogni **vertice** esattamente **una volta**, ritorni al **punto di partenza** e minimizzi la somma dei pesi degli **spigoli** utilizzati.

Digressione: Fondamenti di Teoria dei Grafi

Un grafo [3] G è definito **formalmente** come una coppia **ordinata** $G = (V, E)$, dove:

1) Vertici (o nodi)

I vertici, rappresentati dall'insieme V sono gli elementi fondamentali del **grafo**. Un vertice $v \in V$ è un punto che può rappresentare qualsiasi tipologia di **entità**.

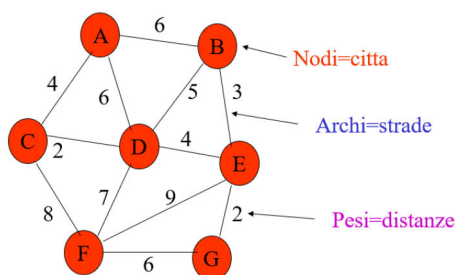
2) Spigoli (o archi)

Gli **spigoli**, rappresentati dall'insieme $E \subseteq V \times V$, sono le connessioni tra i **vertici**. Uno spigolo $e \in E$ è una coppia ordinata (u, v) dove $u, v \in V$. È possibile classificare gli **spigoli** in:

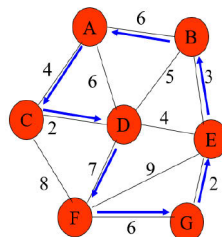
- **Non orientati**: la coppia (u, v) è equivalente alla coppia (v, u)
- **Orientati**: la coppia (u, v) definisce una direzione da u a v
- **Pesati**: ad ogni spigolo è associato un valore numerico (*peso*). Questo peso può rappresentare vari aspetti come la distanza tra nodi, il costo di attraversamento o altre metriche.

Un **percorso hamiltoniano** in un grafo è un percorso che visita ogni vertice esattamente una volta. Se il percorso ritorna al vertice iniziale, formando un **ciclo**, viene **chiamato ciclo hamiltoniano**. Definito quindi V l'insieme delle città ed E l'insieme degli archi con i relativi **pesi** (*le distanze*), l'obiettivo è determinare il **ciclo hamiltoniano** che minimizzi i **costi** e che permetta al commesso viaggiatore di partire dalla **città base** - *il vertice iniziale* - e di farvi ritorno soltanto dopo aver visitato **ogni città** esattamente una **volta** [4].

Grafo Pesato

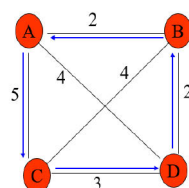


Ciclo hamiltoniano



E' un ciclo che visita TUTTI i nodi UNA SOLA volta

I Cammino Hamiltoniano



A,C,D,B,A costo 5+3+2+2=12

La sfida legata al TSP

Il problema del TSP è **NP-hard**², cioè non esiste un algoritmo noto che possa risolverlo in modo efficiente per tutti gli **input** poiché il numero di soluzioni aumenta all'aumentare del numero di città. La soluzione più semplice (**e più costosa**) è quella di provare semplicemente tutte le **possibilità**. Il problema teorico è che presupponendo di avere **10**

² Un problema si definisce **NP-difficile** (NP-hard) se è almeno tanto complesso quanto i problemi più difficili della classe **NP** (**Non-deterministic Polynomial time**). Nel caso del **TSP Teorico**, questo si traduce in una complessità computazionale fattoriale $O(n!)$, dove n è il numero di città da visitare.

città, ci sono $(10 - 1! = 362.880)$ possibilità, con una precisazione: è necessario considerare solo la **metà**, poiché ogni percorso ha un percorso uguale al **contrario** con la stessa **lunghezza** o lo stesso **costo**, ovvero $\frac{(10-1)!}{2} = 181\,440$. Le applicazioni del **TSP** sono molteplici e spaziano in diversi **settori**. Ad esempio, è utilizzato nella produzione di microchip, dove è necessario ottimizzare il **percorso** di un **laser** per incidere **circuiti**, per la pianificazione dei percorsi per **veicoli**, protocolli di **routing** e **DNA sequencing** [5].

Soluzioni al TSP

Le soluzioni proposte per il **TSP** si sono evolute nel **tempo**, riflettendo i progressi nella teoria **dell'ottimizzazione** e nelle capacità **computazionali**. Gli approcci risolutivi si dividono principalmente in due categorie: 1) gli *algoritmi esatti*, che garantiscono l'esattezza della **soluzione** ma sono **computazionalmente onerosi**, 2) gli *algoritmi euristici*, che forniscono soluzioni approssimate in tempi **ragionevoli**. Gli algoritmi esatti per il **TSP** si dividono in tre principali approcci metodologici distinti. Il primo è il metodo **Branch and Bound**, che affronta il problema suddividendo **ricorsivamente** lo spazio delle **soluzioni** in sottoproblemi più gestibili ed eliminando i rami che non **possono** portare a soluzioni **ottimali** [6]. Il secondo approccio è il metodo del **Cutting Plane**, sviluppato da *Dantzig, Fulkerson e Johnson nel 1954*, che rappresenta una metodologia completamente diversa: utilizza la programmazione lineare intera, aggiungendo progressivamente **vincoli** (i "tagli") per guidare la soluzione verso valori **interi** [7]. La terza **metodologia** riguarda l'algoritmo di **Held-Karp**, che si basa sulla programmazione **dinamica**. Questo algoritmo memorizza le **soluzioni ottimali** di **sottoproblemi** via via più grandi per costruire la soluzione finale, con una complessità temporale di $O(n^2 2^n)$, e rappresenta uno dei risultati più significativi nell'ambito degli algoritmi **esatti** per il **TSP** [8]. D'altra parte, gli approcci euristici hanno guadagnato particolare rilevanza per la loro **applicabilità** pratica. Le tecniche di ricerca locale, come la ricerca variabile di vicinato (**VNS**) e l'**annealing simulato adattivo**, permettono di esplorare efficacemente lo spazio delle soluzioni [9].

Definizione del contesto

Per una corretta modellazione del problema, è necessario definire il contesto: si ipotizzi che i vertici del grafo corrispondano ad alcune città della provincia di Matera nella **Tabella 1**. Il grafo che rappresenta questi collegamenti non è **completamente**³ **connesso**⁴, il che significa che da ogni **comune** (*vertice*) il drone non può raggiungere direttamente tutti gli altri comuni. Questo aspetto legato alla **connettività** non è **casuale**, ma rispecchia precise considerazioni operative legate alla **morfologia** del territorio, all'efficienza **energetica** del drone e ai vincoli di **navigazione** [10]. Difatti la realtà solitamente si allontana dalla formulazione teorica del **TSP**, a causa di **aspetti** legati all'**ottimizzazione** della **navigazione** e della gestione del **drone**. Nonostante questa connettività parziale, il problema mantiene la sua natura di **ricerca** di un **ciclo hamiltoniano ottimale** minimizzando al contempo i costi complessivi del **viaggio**, considerando distanza percorsa e batteria **utilizzata**. È bene inoltre notare che le **distanze** considerate non riflettono la reale situazione ma bensì astraggono quelli che sono aspetti più **complessi** e non adatti al

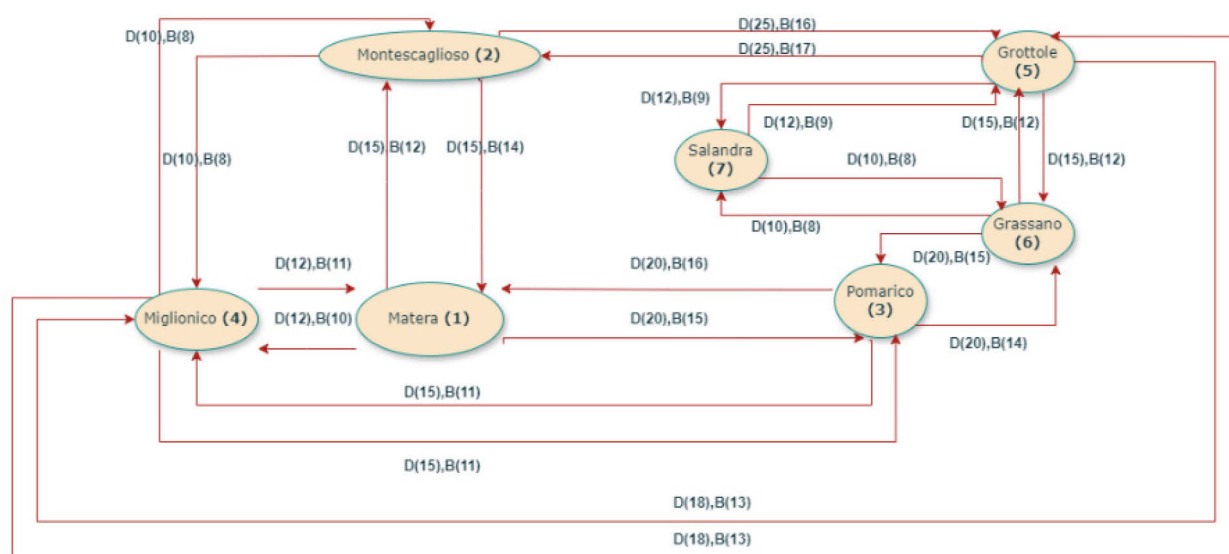
³ Per **Non completamente connesso** si intende che esiste un cammino tra ogni coppia di nodi, ma alcuni nodi non sono direttamente collegati tra loro.

⁴ In teoria dei **grafi**, un grafo G è detto **connesso** se, per ogni coppia di vertici $u, v \in V$, esiste un cammino che collega u a v .

contesto specifico; tale modellazione, inoltre, si basa sul presupposto secondo cui il drone è in grado a livello energetico, di affrontare qualsiasi **ciclo hamiltoniano**. Le distanze ipotizzate variano dai **10 ai 25 chilometri**, mentre il consumo della batteria varia **dall'8% al 17% per tratta**. Per i ritorni verso il **vertice** base, è stato applicato un incremento del consumo di circa l'**1-2%** per compensare possibili situazioni di **vento contrario** dati **dall'altitudine** e dalla conformazione territoriale. Questo approccio permette al sistema di trovare il compromesso **ideale** tra la minimizzazione della distanza percorsa e la conservazione della **batteria**, garantendo che il drone possa completare il suo percorso in sicurezza e con un adeguato margine di batteria residua.

Partenza (Nodo)	Arrivo (Nodo)	Distanza (km)	Consumo Batteria (%)	Consumo al Ritorno (%)
Matera (1)	Montescaglioso (2)	15	12	14
Matera (1)	Pomarico (3)	20	15	16
Matera (1)	Miglionico (4)	12	10	11
Montescaglioso (2)	Miglionico (4)	10	8	8
Montescaglioso (2)	Grottole (5)	25	16	17
Pomarico (3)	Miglionico (4)	15	11	11
Pomarico (3)	Grassano (6)	20	14	15
Miglionico (4)	Grottole (5)	18	13	13
Grottole (5)	Grassano (6)	15	12	12
Grottole (5)	Salandra (7)	12	9	9
Grassano (6)	Salandra (7)	10	8	8

Tabella 1: Le rotte navigabili dal drone



Codifica ASP del TSP

Tale problema è stato codificato utilizzando il sistema **Potassco** [11] (*Potsdam Answer Set Solving Collection*), che implementa **ASP** (*Answer Set Programming*). La scelta di **ASP** e **Potassco** è particolarmente adatta per questo tipo di problema **combinatorio** perché permette di esprimere in modo **naturale** e **dichiarativo** sia i vincoli del ciclo hamiltoniano che gli obiettivi di **ottimizzazione**, sfruttando la potenza espressiva di **ASP** e l'efficienza computazionale del solver **clingo** di Potassco; **ASP** non specifica "**come**" trovare la

soluzione, ma piuttosto "**cosa**" costituisce una **soluzione** valida. Nella codifica ASP sono presenti gli **edge**, ovvero tutti i **collegamenti** possibili tra le città, definiti come **fatti**⁵.

```
% Definizione degli archi (collegamenti tra città)
edge(1,(2;3;4)). % Collegamenti da Matera
edge(2,(1;4;5)). % Collegamenti da Montescaglioso

% Distanze in km
distance(1,2,15). distance(2,1,15).
distance(1,3,20). distance(3,1,20).

% Costi batteria in percentuale
battery_cost(1,2,12). battery_cost(2,1,14).
battery_cost(1,3,15). battery_cost(3,1,16).
```

Cycle invece, rappresenta il percorso **effettivo** che verrà costruito ed è un sottoinsieme di **edge**, che formerà il **ciclo hamiltoniano** finale.

```
% Per ogni nodo, deve essere selezionato esattamente un arco uscente
{ cycle(X,Y) : edge(X,Y) } = 1 :- node(X).
```

Il programma inizia definendo queste regole, di cui la prima stabilisce che per ogni **nodo** X del **grafo** ($node(X)$), deve essere scelto esattamente un **arco** uscente. La notazione $\{ cycle(X,Y) : edge(X,Y) \}$ è una **choice rule** che genera tutti i possibili archi uscenti da X , e $= 1$ impone che ne venga scelto esattamente **uno**. Il simbolo $:-$ di **implicazione** impone che tutto ciò che sta a destra di questo simbolo debba essere **vero** affinché la regola si **applichi**. La regola esprima quindi che "*Per ogni città X , è necessario scegliere esattamente una strada che parte da X verso un'altra città Y , ma è possibile scegliere solo tra le strade che esistono realmente*", per esempio:

$$\{ cycle(1,2); cycle(1,3); cycle(1,4) \} = 1 :- node(1).$$

```
% Per ogni nodo, deve essere selezionato esattamente un arco entrante
{ cycle(X,Y) : edge(X,Y) } = 1 :- node(Y).
```

Questa seconda regola è **complementare** alla prima e stabilisce che per ogni nodo Y del grafo, deve essere scelto esattamente un arco **entrante**. **Ogni città Y deve essere raggiunta da esattamente una città X** : ogni città deve avere esattamente una strada in entrata e una in uscita.

```
%%%%%%%%%%%%%%%%%%%%%%%%%%%%%%%%%%%%%%%%%%%%%%%%%%%%%%%%%%%%%%%%%%%%%%%%
% REGOLE DI RAGGIUNGIBILITÀ
%%%%%%%%%%%%%%%%%%%%%%%%%%%%%%%%%%%%%%%%%%%%%%%%%%%%%%%%%%%%%%%%%%%%%%%%
% Un nodo è raggiungibile se è direttamente collegato al nodo 1
reached(Y) :- cycle(1,Y).
% Un nodo è raggiungibile se è collegato a un nodo già raggiungibile
reached(Y) :- cycle(X,Y), reached(X).
% Non sono ammesse soluzioni con nodi non raggiungibili
:- node(Y), not reached(Y).
```

Per ciò che concerne le regole di **raggiungibilità**, la prima afferma che un **nodo** Y è **raggiungibile** se esiste un **arco del ciclo** che parte dal nodo **1** e arriva direttamente a Y . Nel caso in oggetto, questa regola da sola marca come raggiungibili solo i vicini diretti di **Matera**. La seconda è una regola ricorsiva che estende il concetto di raggiungibilità. Afferma che un nodo Y è raggiungibile se:

1. Esiste un **arco** del ciclo da un qualche nodo X a Y ($cycle(X,Y)$)

⁵ In **ASP** una **regola senza corpo** $a_0 \leftarrow (n = 0)$ viene chiamato **fatto** e rappresenta un'informazione sempre vera.

2. E quel nodo X è già stato marcato come **raggiungibile** ($reached(X)$)

La terza non è una regola, ma bensì una **constraint** (*vincolo*) che elimina le soluzioni indesiderate. Esprime un **vincolo** in cui non è ammessa una soluzione dove esiste un nodo Y che non è stato marcato come **raggiungibile**. Immaginando un **percorso**:

1 → 2 → 4 → 5 → 3 → 6 → 7 → 1

Le regole lavorerebbero così:

1. *Prima regola: marca 2 come raggiungibile perché c'è cycle(1,2)*
2. *Seconda regola (primo passo): marca 4 come raggiungibile perché c'è cycle(2,4) e 2 è raggiungibile*
3. *Seconda regola: continua a propagare la raggiungibilità lungo il ciclo*
4. *Terza regola: verifica che alla fine tutti i nodi siano stati marcati come raggiungibili*

Se anche un solo nodo non **fosse raggiungibile**, la terza regola eliminerebbe quella soluzione dal **set** di risposte possibili.

```

%%%%%%%%%%%%%%%%%%%%%%%%%%%%%%%%%%%%%%%%%%%%%%%%%%%%%%%%%%%%%%%%%%%%%%%%
% VISUALIZZAZIONE
%%%%%%%%%%%%%%%%%%%%%%%%%%%%%%%%%%%%%%%%%%%%%%%%%%%%%%%%%%%%%%%%%%%%%%%%
#show cycle/2.
#show total_distance/1.
#show total_batterv/1.

```

Questa porzione di codice stampa i risultati utilizzando dei numeri per identificare gli argomenti.

```

%%%%%%%%%%%%%%%%%%%%%%%%%%%%%%%%%%%%%%%%%%%%%%%%%%%%%%%%%%%%%%%%%%%%%%%%
% OTTIMIZZAZIONE
%%%%%%%%%%%%%%%%%%%%%%%%%%%%%%%%%%%%%%%%%%%%%%%%%%%%%%%%%%%%%%%%%%%%%%%%
% Minimizza il costo totale del percorso
#minimize { C,X,Y : cycle(X,Y), cost(X,Y,C) }.

```

minimize è uno strumento fondamentale in ASP che indica al **solver** di trovare soluzioni che minimizzano una certa **quantità**, in questo caso la somma dei valori specificati C (*distanza e batteria*). X,Y sono le variabili coinvolte nell'ottimizzazione. $cost(X,Y,C)$ e $cycle(X,Y)$ sono le condizioni che devono essere vere. La **direttiva** `#minimize { C,X,Y : cycle(X,Y), cost(X,Y,C) }` prende questi costi per tutti gli archi selezionati nel ciclo e cerca di **minimizzarne** la somma, trovando così il ciclo hamiltoniano con il costo totale più **basso**.

```

%%%%%%%%%%%%%%%%%%%%%%%%%%%%%%%%%%%%%%%%%%%%%%%%%%%%%%%%%%%%%%%%%%%%%%%%
% CALCOLO COSTI E TOTALI
%%%%%%%%%%%%%%%%%%%%%%%%%%%%%%%%%%%%%%%%%%%%%%%%%%%%%%%%%%%%%%%%%%%%%%%%
% Calcolo del costo totale come somma di distanza e consumo batteria
cost(X,Y,C) :- distance(X,Y,D), battery_cost(X,Y,B), C = D + B.

% Calcolo della distanza totale
total_distance(TD) :- TD = #sum { D,X,Y : cycle(X,Y), distance(X,Y,D) }.

% Calcolo del consumo totale di batteria
total_battery(TB) :- TB = #sum { B,X,Y : cycle(X,Y), battery_cost(X,Y,B) }.

% Verifica completezza del ciclo
cycle_complete :- N = #count { X : node(X) },
                  N = #count { X : reached(X) },
                  :- not cycle_complete.

```

In questa porzione di codice, la **prima** regola definisce come calcolare il costo totale per andare da un nodo X a un nodo Y . Il costo C è la **somma** della **distanza** D e del consumo

di **batteria** B . Questa regola usa l'aggregato⁶ $\#sum$ per calcolare la distanza totale del percorso. Nella **seconda** regola, per ogni **arco** che fa parte del **ciclo** ($cycle(X, Y)$), prende la sua distanza ($distance(X, Y, D)$) e **somma** tutti questi valori. La **terza** regola è simile alla regola precedente, ma per il **consumo** di batteria. Difatti, $C = D + B$ non è un **atomo** ma è un'operazione **aritmetica** che viene utilizzata all'interno di una **regola** per assegnare un valore a C . L'ultima **regola** e l'ultimo **vincolo** invece, verificano che il ciclo sia **completo**, ovvero che tutti i **nodi** siano stati raggiunti nel percorso **trovato**. La **regola** confronta il numero totale di nodi N con il numero di **nodi** raggiunti $\#count \{ X : reached(X) \}$. Se coincidono, significa che ogni nodo è stato visitato e il **ciclo hamiltoniano** è valido. Il **vincolo** esclude tutte le soluzioni in cui **cycle_complete** non è vero, ovvero quelle in cui esistono **nodi non raggiunti**.

Risultati della codifica ASP del TSP: Ciclo Hamiltoniano ottimizzato

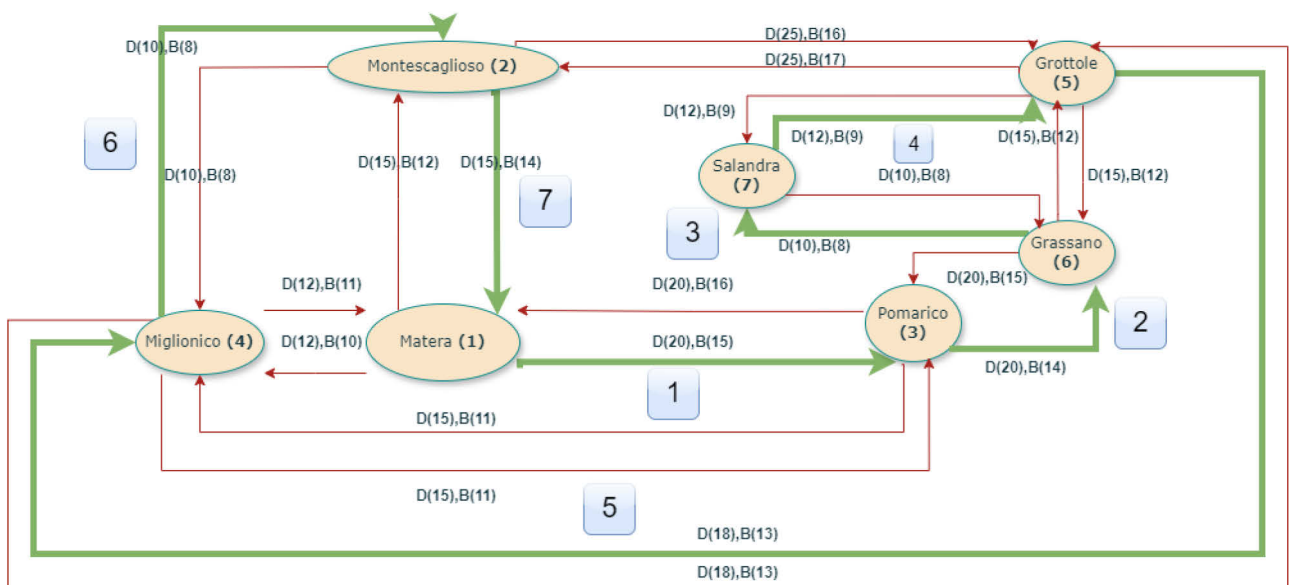
```
clingo version 5.7.0
Reading from stdin
Solving...
Answer: 1
cycle(1,4) cycle(4,3) cycle(3,6) cycle(2,1) cycle(6,7) cycle(5,2) cycle(7,5) total_battery(83) total_distance(109)
Optimization: 192
Answer: 2
cycle(1,3) cycle(4,1) cycle(3,6) cycle(2,4) cycle(6,7) cycle(5,2) cycle(7,5) total_battery(82) total_distance(109)
Optimization: 191
Answer: 3
cycle(1,3) cycle(4,2) cycle(3,6) cycle(2,1) cycle(6,7) cycle(5,4) cycle(7,5) total_battery(81) total_distance(105)
Optimization: 186
OPTIMUM FOUND
```

Tra le tre soluzioni proposte, il **ciclo hamiltoniano ottimale** trovato è:
Matera(1) → Pomarico(3) → Grassano(6) → Salandra(7) → Grottole(5) → Miglionico(4) → Montescaglioso(2) → Matera(1).

Questo ciclo ha un costo totale di **186 unità**, che è la somma di:

$$C = \text{Distanza totale} + \text{Consumo totale batteria}$$

$$C = 105 + 81 = 186$$



⁶ Le funzioni di aggregazione in **ASP** sono funzioni **speciali** che permettono di calcolare un **valore unico** a partire da un **insieme** di valori. La loro sintassi generale è molto **specificata** e **strutturata**:

Nome_Predicato(Risultato) :- Risultato = #funzione_aggregazione { Termini : Condizioni }.

Modellazione delle manovre di un drone per la consegna di merci

La modellazione **formale** del comportamento dei **droni** rappresenta un campo di ricerca di particolare rilevanza nell'ambito **dell'ingegneria** dei sistemi **cyber-fisici**. La formulazione **matematica** di questi sistemi si inserisce nel più ampio contesto dei **metodi formali**, dove l'obiettivo principale consiste nella **verifica rigorosa** delle proprietà di **sicurezza** che garantiscano il **rispetto** di specifiche **temporali**. Il paradigma fondamentale si basa sulla **rappresentazione** del drone come **sistema** attraverso una macchina a **stati finiti**, dove le transizioni tra stati operativi devono soddisfare precise **proprietà temporali** espresse mediante **LTL e CTL**. Questa formalizzazione permette di catturare le operazioni del drone, dalla fase di **decollo** fino **all'atterraggio o alla consegna** [12]. Durante la definizione delle manovre classiche, è stata tenuta in considerazione anche **l'altitudine**, necessaria per determinare il corretto **atterraggio** del drone o la **consegna** della merce. Le attuali sperimentazioni di **consegna di merci** attraverso **droni** considerano diverse opzioni in base alla tipologia di **merce**, alla **tecnologia** del **drone** utilizzato e alle **specifiche** fornite dall'azienda di **consegna**: alcuni adottano una strategia di consegna **in aria**, in una situazione di **hovering**⁷, mentre altri per prediligere **sicurezza**, preferiscono un atterraggio **sicuro**. Nel modello formalizzato la consegna della merce avverrà dopo che il **drone** avrà correttamente effettuato **l'hovering** preceduto da un corretto posizionamento **all'altitudine target**. La scelta di focalizzarsi principalmente **sull'altitudine nella modellazione tralasciando le coordinate del piano orizzontale** permette di concentrarsi sugli aspetti più **critici** del sistema, riducendo la **complessità** del modello senza perdere le proprietà essenziali da **verificare**. Tutte le operazioni fondamentali del **drone** (*decollo, atterraggio, hovering, consegna*) dipendono primariamente dalla corretta gestione **dell'altitudine**. Quando parliamo di **altitudine**, ci riferiamo specificamente all'altezza del **drone** rispetto a un punto di riferimento, in questo caso il **suolo**. Tuttavia, è importante comprendere che esistono diversi tipi di **altitudine** [13]:

1) **Altitudine Assoluta** (*MSL - Mean Sea Level*):

È l'altezza del drone rispetto al livello medio del mare. Questa misura è importante per la navigazione aerea generale, ma non è la più rilevante per le operazioni di un drone;

2) **Altitudine Relativa** (*AGL - Above Ground Level*):

È l'altezza del drone rispetto al terreno direttamente sotto di esso: difatti, tale misura risulta più pertinente per le operazioni considerate, perché è fondamentale per le manovre di decollo e atterraggio ed è cruciale per mantenere una distanza sicura dagli ostacoli.

Un'altezza troppo elevata durante l'atterraggio – seppur *preceduta dallo stato di hovering* – comporterebbe una perdita di **stabilità**, influenzata anche dalla presenza **maggiore** di agenti **atmosferici** rispetto a quote più **basse**. Allo stesso modo, il **rilascio** della **merce** a

⁷ **Hovering** è una particolare tipologia di volo che si verifica quando il drone staziona in aria a velocità nulla e quota costante. In questo caso si parla, appunto, di **volo stazionario** o **volo puntiforme**, in quanto la rotta del drone nello spazio indica un semplice **punto**. Tale manovra è utilizzata per stabilizzare il drone e **prepararlo** a manovre successive.

partire da una **quota elevata**, **comporterebbe** danni concreti al prodotto. In un **atterraggio** inizializzato invece ad **altitudini** troppo **basse**, il drone potrebbe non stabilizzarsi correttamente a causa del flusso d'aria generato dalle eliche che può creare una **zona di turbolenza instabile**. Nell'atterraggio, il drone deve gestire la **transizione** da una condizione di volo a una di **hovering** vicino al **suolo**, richiedendo aggiustamenti più **delicati**. Il fenomeno del flusso d'aria influenza anche la fase di **decollo**, ma in questo caso una bassa **altitudine** non costituisce **pericolo** poiché il drone parte da una posizione **stabile** (al suolo) e aumenta gradualmente la **potenza**, permettendo un controllo più preciso della **transizione** anche grazie al successivo hovering.

Alcune sperimentazioni in **Italia** [14] confermano il modello del **rilascio della merce** “*in aria*” e suggeriscono un'**altitudine** di crociera che varia dai **55** ai **115 metri** dal punto più basso del suolo, rispettando quindi il limite imposto dall'Italia di **150 metri** [15]. In tale modellazione, la fase di **hovering**, in cui il drone si stabilizzerà per **rilasciare** la merce o effettuare l'**atterraggio**, inizierà a circa **4-5** metri sopra il livello del **suolo**, il che consente un tempo **sufficiente** per adattarsi a eventuali ostacoli **imprevisti** o cambiamenti nelle condizioni del **vento** durante la discesa. A questa altitudine, i droni possono utilizzare **sensori** di bordo per valutare la sicurezza e la **stabilità** dell'area di rilascio, il che è fondamentale per le operazioni di **consegna** di merce in ambienti urbani. La ricerca ha dimostrato inoltre che i **droni** operanti a quote più basse sperimentano meno **complicazioni** legate al **vento** e possono mantenere un controllo **migliore**, riducendo così il rischio di incidenti durante l'**atterraggio** [16].

Definizione del contesto

In base alla precedente **analisi**, è necessario definire un **contesto** di riferimento per una corretta **modellazione**. È bene sottolineare che tale **modellazione** non prende in considerazione nessun **percorso** specifico da seguire – *a differenza del punto a) dell'attività* – ma **astrae** il comportamento del drone in un contesto più **ampio e generale**, dove il drone seguirà un percorso lineare – *Partenza dalla base, Consegna 1, Consegna n, Ritorno alla base* - in cui potrà variare la sua **altitudine**, non considerando in questo caso aspetti legati al consumo energetico e di ricarica. Durante il **volo** – *in seguito definito come navigazione verso punti di rilascio* – il drone potrà raggiungere diverse **altitudini** rispetto a quella **target** a causa della presenza di ostacoli di natura antropica e naturale, conformazione **morfologiche** del territorio e altri **fattori** non considerati appositamente dato il livello di **astrazione** di riferimento. Inoltre, l'**hovering** è **essenziale** per il controllo della traiettoria e della stabilità [17], per questo motivo è necessario che avvenga in determinati **istanti** di tempo, ovvero:

- 1) Dopo il **decollo**, per preparare correttamente il drone alla normale **crociera**
- 2) Prima **dell'atterraggio**, per finalizzare le manovre necessarie
- 3) Prima del rilascio della **merce** da **consegnare** per un corretto assestamento

Difatti durante la **crociera**, i droni sono **progettati** per volare in modo più efficiente, riducendo il consumo **energetico** rispetto alla modalità di **hovering**. Ad esempio, un design ibrido di droni riduce il consumo di energia del **64%** durante il volo in crociera rispetto all'**hovering**, dimostrando l'**efficienza** del volo in **crociera** per le **consegne** e specificando come l'**hovering** sia necessario soltanto in situazioni **critiche** [18]. Inoltre, il **rilascio** della merce data l'analisi precedente, dovrà avvenire ad un'**altitudine** target per evitare di **destabilizzare** il drone durante il rilascio o danneggiare la **merce** stessa. Per tale motivo,

l'altitudine di **rilascio merce** e quella di **hovering** – *da ora specificata come **altitudine target*** – corrisponderà, poiché il drone dovrà mantenere una posizione **stabile** e **controllata** durante l'intera operazione di **rilascio**: cambiare altitudine tra la fase di hovering e quella di **rilascio** introdurrebbe instabilità non **necessarie** nel sistema, compromettendo la precisione dell'operazione. Complessivamente, richiederebbe una nuova fase di **valutazione** e **stabilizzazione**, aumentando inutilmente i tempi operativi e il consumo **energetico**. Considerando che l'hovering consuma **significativamente** più energia rispetto al volo di crociera è fondamentale **minimizzare** il tempo speso in questa fase mantenendo la stessa altitudine target per entrambe le **operazioni** [18]. Il drone quindi si occuperà del **rilascio** della merce attraverso un corretto **svolgimento** di tutte quante le **manovre** necessarie - *precedute per quelle più critiche dalla fase di hovering* - e sarà in grado di variare **altitudine** in maniera **graduale** durante la normale crociera attraverso un numero prefissato di **punti di consegna** – *non specializzati in tale modellazione* - per adattarsi a qualsiasi **situazione** attraverso un percorso **linearmente** definito e illustrato in **Figura 1**, che **terminerà con il ritorno alla base di partenza**.

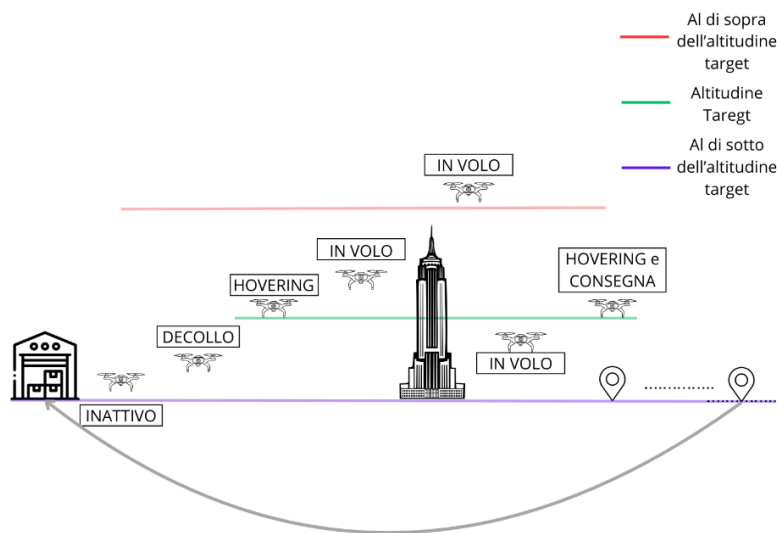


Figura 1: Consegna della merce

Dato il principio di **astrazione**, non sono stati considerati casi specifici di atterraggi **d'emergenza**, seppure la modellazione - *definita in seguito* - permetta al drone di atterrare in qualsiasi momento. Per lo stesso principio, le caratteristiche del **drone**, le **situazioni in cui non è possibile rilasciare la merce**, così come valori numerici **specifici** dell'altitudine o di percorsi in zone **specifiche**, non sono oggetti del caso di studio, considerando però la relazione tra l'**altitudine** corrente e quella **target**. Questo permette di:

- mantenere il modello **semplice** e **verificabile**
- applicare lo stesso **modello** a diverse situazioni **operative**
- concentrarsi sulle **transizioni** di stato piuttosto che sui valori precisi

Per modellare correttamente il comportamento del drone, si considerino le seguenti **proposizioni atomiche** fondamentali:

Sono state introdotte delle **etichette** per rendere più immediata l'interpretazione del modello

Proposizione	Etichetta	Descrizione
--------------	-----------	-------------

i	INATTIVO	<i>Il drone non è in volo e posizionato sul suolo</i>
d	DECOLLO	<i>Il drone è in fase di decollo</i>
h	HOVERING	<i>Il drone è in fase di hovering</i>
r	RILASCIO	<i>il drone ha rilasciato la merce</i>
v	IN VOLO	<i>il drone naviga in volo per raggiungere i punti di consegna</i>
a	ATTERRAGGIO	<i>il drone è in fase di atterraggio</i>
t	ALTITUDINE TARGET	<i>il drone ha raggiunto l'altitudine target</i>
s	SOTTO ALTITUDINE TARGET	<i>il drone è sotto l'altitudine target</i>
u	SOPRA ALTITUDINE TARGET	<i>Il drone è sopra l'altitudine target</i>

Struttura di Kripke

Nella logica temporale viene utilizzata la struttura di **Kripke** per la corretta modellazione del comportamento del sistema, introducendo **stati finiti** e transizioni che rappresentano i cambiamenti nelle **manovre** [19]. Ogni stato rappresenta una **configurazione** specifica del **drone**, caratterizzata principalmente dalla sua **altitudine** e dalla **manovra** in esecuzione.

Dato l'insieme $\Sigma = \{i, d, h, r, v, a, t, s, u\}$ rappresentativo delle **proposizioni atomiche** e il rispettivo Insieme delle Parti 2^Σ , per ogni singolo stato s , $L(s)$ è l'insieme di tutte le proposizioni atomiche che vengono **valutate** come **vere** nello stato. Una struttura di **Kripke** è definita come $M = (S, I, R, L)$ dove:

- S è l'insieme di tutti gli stati del sistema, definito come $S = \{S_1, S_2, S_3, S_4, S_5, S_6, S_7, S_8\}$
- I è l'insieme che contiene lo **stato iniziale**, definito come. $(I \subseteq S \mid I = \{S_1\})$
- $R \subseteq S \times S$ è l'insieme di relazioni di transizione di stato. Per ogni $s \in S$, c'è s' tale che $s \rightarrow s'$ e la relazione è indicata come $(s, s') \in R$

$$R = \{(S_1, S_2), (S_2, S_4), (S_3, S_1), (S_4, S_3), (S_4, S_5), (S_4, S_6), (S_4, S_7), (S_4, S_8), (S_5, S_4), (S_5, S_6), (S_5, S_7), (S_6, S_5), (S_7, S_5), (S_8, S_4)\}$$

- L è una funzione di etichettatura che mappa S all'insieme 2^Σ , dove Σ è l'insieme delle proposizioni atomiche.
 - $L(S_1) = \{i, s\}$, $L(S_2) = \{d, s\}$, $L(S_3) = \{a, s\}$, $L(S_4) = \{h, t\}$, $L(S_5) = \{v, t\}$, $L(S_6) = \{v, u\}$, $L(S_7) = \{v, s\}$, $L(S_8) = \{r, t\}$

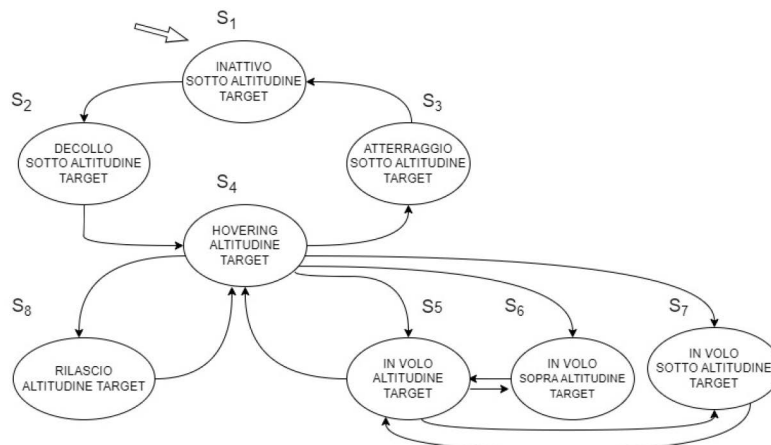


Fig. 2 Struttura di Kripke

Descrizione

Il drone quindi, posizionato sul **suolo** e **inattivo** procederà con il **decollo** mantenendo in entrambi i casi un'altitudine relativa **inferiore** rispetto a quella **target**. Successivamente si posizionerà **all'altitudine target** per effettuare l'**hovering** e in seguito potrà iniziare il volo verso i punti **target** per la **consegna**, intervallando diverse **altitudini** in base a quelli che sono i fattori **influenzanti**. Nel momento in cui si troverà nel punto di **consegna**, si posizionerà **all'altitudine target** ed effettuerà l'**hovering** prima di procedere al **rilascio** della **merce**. Successivamente continuerà il **volo** verso le **rotte** predeterminate e infine raggiungerà la base di partenza, portandosi dapprima **all'altitudine target** ed effettuando **hovering**, per poi effettuare l'**atterraggio**. Come descritto nella fase di analisi, non sono state **specificate** situazioni di pericolo o **emergenza**, ma da come si può dedurre dalla struttura il drone potrebbe **decollare**, effettuare l'**hovering** e atterrare nuovamente, senza **consegnare** nessuna merce. La possibilità di atterrare dopo il decollo potrebbe essere necessaria per una corretta gestione delle **emergenze**, cancellazione della **missione**, malfunzionamenti rilevati dopo il **decollo** o ancora condizioni meteorologiche **avverse**.

Definizione delle proprietà tramite LTL e CTL

Le logiche temporali **LTL** (*Linear Temporal Logic*) e **CTL** (*Computation Tree Logic*) rappresentano strumenti **formali** fondamentali, consentendo di **specificare** e verificare rigorosamente **proprietà** del modello in diversi **istanti temporali**, garantendo la correttezza del **sistema** rispetto a requisiti critici di **sicurezza** e **funzionalità**. **LTL** adotta una visione lineare del tempo, dove ogni **istante** ha un unico futuro possibile. Nel contesto dei droni, **LTL** permette di specificare sequenze obbligatorie di **operazioni**, come la necessità di stabilizzazione in **hovering** dopo il rilascio della **merce**. **CTL**, d'altra parte, considera una struttura **ramificata** del tempo, dove ogni istante può evolvere in molteplici futuri **alternativi**. Questa caratteristica rende **CTL** particolarmente efficace nella descrizione di sistemi non deterministici, dove è necessario ragionare sulla presenza o assenza di determinate situazioni [19]. Nel caso dei droni, **CTL** consente di esprimere proprietà relative alle diverse **opzioni** di volo disponibili, come la possibilità di scegliere tra multiple **altitudini** o la presenza di percorsi **alternativi** per raggiungere gli obiettivi. Questa **complementarità** risulta essenziale nella progettazione di tali sistemi, poiché le formule temporali definite per il modello del drone rappresentano un insieme completo di **proprietà** che ne caratterizzano il **comportamento**, bilanciando requisiti di **sicurezza** e **flessibilità** operativa.

Proprietà temporali LTL

$$G(\text{rilascio} \rightarrow X \text{ hovering})$$

Tale proprietà, assicura che dopo ogni operazione di **rilascio** il drone si stabilizzi in **hovering**, un requisito fondamentale per il mantenimento del **controllo**.

$$G(\text{inattivo} \rightarrow X \text{ decollo})$$

Stabilisce che dallo stato **inattivo** il sistema deve necessariamente procedere con il **decollo**, garantendo l'inizializzazione corretta della sequenza **operativa**.

$$G((\text{volo} \wedge \text{altitudine} = \text{sopra_target}) \rightarrow X(\text{volo} \wedge \text{altitudine} = \text{target}))$$

Il drone che si trova in volo ad un'altitudine **superiore** a quella target deve necessariamente ritornare **all'altitudine target** prima di poter effettuare altre **manovre**. Questa restrizione riflette la necessità di un controllo graduale delle variazioni di **altitudine**.

$$G((\text{volo} \wedge \text{altitudine} = \text{sotto_target}) \rightarrow X(\text{solo} \wedge \text{altitudine} = \text{target}))$$

Analogamente alla precedente, questa proprietà garantisce che da **un'altitudine inferiore** a quella **target**, il drone deve riportarsi all'altitudine di **riferimento**. Questo vincolo assicura una gestione **simmetrica** e controllata delle variazioni di **quota**.

$$G(\text{hovering} \wedge \text{altitudine} = \text{target} \rightarrow X(\text{atterraggio} \vee \text{volo} \vee \text{rilascio}))$$

La proprietà delinea le possibili **evoluzioni** del sistema dallo stato di **hovering**, assicurando transizioni controllate.

$$G((\text{volo} \wedge \text{altitudine} = \text{sopra_target}) \rightarrow (\neg \text{atterraggio} U \text{altitudine} = \text{target}))$$

La proprietà garantisce che il drone non possa effettuare un **atterraggio** direttamente da un'altitudine superiore al target, ma debba necessariamente passare per l'**altitudine target**.

$$G(\text{decollo} \rightarrow (\text{altitudine} = \text{sotto_target} \wedge F(\text{altitudine} = \text{target})))$$

Il decollo avviene sempre da una **posizione** sotto il target e procede **gradualmente**.

$$F(G(\text{hovering}))$$

Questa proprietà – **correttamente non soddisfatta dal modello** - afferma che esiste un'esecuzione in cui, da un certo punto in poi, il drone rimane bloccato indefinitamente in hovering.

Proprietà CTL

$$AG(\text{volo} \wedge \text{altitudine} = \text{target} \rightarrow EX(\text{hovering} \vee (\text{volo} \wedge \neg(\text{altitudine} = \text{target}))))$$

Questa proprietà esprime la flessibilità operativa del drone quando si trova all'altitudine **target**: può scegliere se stabilizzarsi in **hovering** o modificare la propria **altitudine**. Questa capacità decisionale è fondamentale per l'**adattabilità** del sistema a diverse condizioni **operative**.

$$AG(\text{volo} \rightarrow E(\text{volo} U \text{hovering}))$$

In questo caso si garantisce l'esistenza di **percorsi** che mantengano il **volo** fino al raggiungimento dell'**hovering**.

$$AG(\text{hovering} \rightarrow EF(\text{atterraggio}) \wedge EF(\text{volo}))$$

La proprietà stabilisce la possibilità di completare la **missione** in modi diversi.

$$AG(\text{volo} \rightarrow EF(\text{altitudine} = \text{sopra_target}) \wedge EF(\text{altitudine} = \text{sotto_target}))$$

Durante il volo, è sempre possibile raggiungere sia **altitudini** sopra che **sotto** il target, catturando la libertà di **navigazione verticale**.

$$AG(\text{volo} \rightarrow EF(\text{atterraggio}))$$

La proprietà garantisce che da ogni **stato** di **volo** sia sempre possibile raggiungere uno stato di atterraggio **sicuro**.

$$AG(\text{hovering} \rightarrow AF \text{rilascio})$$

Tale proprietà afferma che ogni stato di **hovering** deve necessariamente portare a un **rilascio**: il requisito non può essere soddisfatto dal sistema perché **contraddirebbe** la sua natura **intrinsecamente** non **deterministica**. Il modello prevede esplicitamente che dallo stato di hovering sia possibile sia procedere con il **rilascio** che con l'**atterraggio**, riflettendo scenari operativi come l'interruzione della missione per condizioni avverse o emergenze. La presenza di questa flessibilità operativa è fondamentale per la **sicurezza** e l'**adattabilità** del sistema a condizioni reali, rendendo impossibile garantire che ogni **hovering** culmini necessariamente in un **rilascio**. Questa combinazione di proprietà **LTL** e **CTL** fornisce una caratterizzazione formale completa del comportamento del drone, bilanciando requisiti **deterministici** di sicurezza con la necessaria **flessibilità** operativa.

Implementazione attraverso il tool di model checking NuSMV

NuSMV è uno strumento di model checking **simbolico**, sviluppato⁸ come evoluzione del model checker originale **SMV** (*Symbolic Model Verifier*). Il model checking è una tecnica di **verifica formale** che permette di determinare se un **sistema** soddisfa determinate **proprietà** attraverso un'esplorazione **sistematica** di tutti i suoi possibili **stati**. **NuSMV** implementa questa verifica in modo "*simbolico*", il che significa che non esplora gli stati uno

```
MODULE main
-- Definizione delle variabili del sistema
VAR
  -- Stato corrente del sistema secondo la struttura di Kripke
  state : {s1, s2, s3, s4, s5, s6, s7, s8};
  -- Variabili booleane che rappresentano le azioni del drone
  inattivo : boolean; -- Drone fermo al suolo
  decollo : boolean; -- Fase di decollo
  hovering : boolean; -- Fase di stazionamento
  volo : boolean; -- Fase di volo
  atterraggio : boolean; -- Fase di atterraggio
  rilascio : boolean; -- Fase di rilascio merce
  -- Altitudine relativa rispetto al target
  altitudine : {sotto_target, target, sopra_target};

  -- Gestione dell'altitudine in base allo stato
  next(altitudine) := case
    next(state) = s6 : sopra_target; -- Volo ad alta quota
    next(state) in {s4, s5, s8} : target; -- Hovering, volo normale e rilascio
    next(state) in {s1, s2, s3, s7} : sotto_target; -- Stati vicini al suolo
    TRUE : altitudine;
  esac;
```

impossibile
utilizza
chiamate
(BDD) per
grandi

amente [19]. All'interno del codice sviluppato, si trova il modulo su cui si sviluppa l'intero sistema di **gestione** del drone.

All'interno, troviamo la sezione **VAR** che dichiara tutte le variabili di stato del **sistema**, in cui ogni variabile riflette una delle **proposizioni** utilizzate che potranno assumere un valore **boolean** (*True* o *false*). Le tre proposizioni circa l'**altitudine**, sono state rappresentate tramite una variabile **enumerativa**, che descrive i tre possibili stati di altitudine. Nella sezione **ASSIGN**, le istruzioni **init** stabiliscono lo stato **iniziale** del sistema, posizionando il drone in uno stato **inattivo** al suolo. In secondo luogo, la funzione **next(state)** definisce tutte le possibili **transizioni** tra stati; infine, le funzioni **next** per le altre variabili mantengono la **coerenza** del sistema, aggiornando appropriatamente tutti i **parametri** operativi in base allo stato corrente. Inizialmente, il model **checker** legge le dichiarazioni **VAR** per costruire lo **spazio** degli stati possibili e inizializza il **sistema** secondo le istruzioni **init** nella sezione **ASSIGN**, posizionando il drone nello stato S_1 (**inattivo**) con le appropriate variabili **boolean** e di **altitudine**.

⁸ Si tratta di un prodotto **open-source** sviluppato congiuntamente da *ITC-IRST, Trento, Italia, Carnegie Mellon University, Università di Genova e Università di Trento*.

```

next(state) := case
  state = s1 : s2;           -- Da inattivo a decollo
  state = s2 : s4;           -- Da decollo a hovering
  state = s3 : s1;           -- Da atterraggio a inattivo
  state = s4 : {s3,s5,s6,s7,s8}; -- Da hovering a volo/atterraggio/rilascio

ASSIGN
  -- Inizializzazione delle variabili di stato
  -- Il drone parte da fermo al suolo
  init(inattivo) := TRUE;
  init(decollo) := FALSE;
  init(hovering) := FALSE;

```

A questo punto, il sistema inizia a calcolare le possibili evoluzioni utilizzando le definizioni **next** nella sezione **ASSIGN**. Per ogni stato corrente, il **model checker** determina quali **transizioni** sono possibili consultando la struttura case di **next(state)** e aggiorna conseguentemente tutte le variabili **ausiliarie** attraverso le loro rispettive definizioni **next**. Ad esempio, quando il sistema passa da S_1 a S_2 automaticamente aggiorna le variabili **booleane** per riflettere che il drone è passato dallo stato **inattivo** allo stato di **decollo**.

La sezione delle **SPECIFICATION**, posta alla fine del modello, contiene le proprietà **temporali** - descritte in precedenza - che il sistema deve soddisfare, espresse sia in logica **LTL** che **CTL**. Da come si **evince**, le proprietà definite vengono correttamente **rispettate**, così come **proprietà** che descrivono comportamenti **inattesi** vengono violate correttamente, descrivendo anche un controesempio - *omesso per ragioni di spazio* -.

```

-- specification F ( G hovering) is false

-- specification G (rilascio -> X hovering) is true
-- specification G (inattivo -> X decollo) is true
-- specification G ((volo & altitudine = sopra_target) -> X (volo & altitudine = target)) is true
-- specification G ((volo & altitudine = sotto_target) -> X (volo & altitudine = target)) is true
-- specification G (decollo -> (altitudine = sotto_target & F altitudine = target)) is true
-- specification G ((volo & altitudine = sopra_target) -> (!atterraggio U altitudine = target)) is true
-- specification G ((hovering & altitudine = target) -> X ((atterraggio | volo) | rilascio)) is true

-- specification AG (volo -> E [ volo U hovering ] ) is true
-- specification AG (volo -> (EF altitudine = sopra_target & EF altitudine = sotto_target)) is true
-- specification AG (volo -> EF atterraggio) is true
-- specification AG (hovering -> AF rilascio) is false

-- specification AG ((volo & altitudine = target) -> EX (hovering | (volo & altitudine != target))) is true
-- specification AG (hovering -> (EF atterraggio & EF volo)) is true

```

Per una simulazione in tempo **reale** del **modello**, si rimanda alla presentazione allegata con la documentazione, in cui è stato prodotto un video **demo** che mostra l'esecuzione del sistema attraverso diversi comandi messi a disposizione da **NuSMV**. È bene sottolineare, che le **proprietà** fornite catturano alcuni degli aspetti più **importanti** del comportamento del drone, ampiamente descritti nella fase di **analisi**.

Bibliografia

- [1] Attigui, Mohamed. *Operations Research: The Traveling Salesman Problem (TSP)*. 16 Apr. 2021, www.researchgate.net/publication/350924023_Operations_Research_The_Traveling_Salesman_Problem_TSP.
- [2] Hoffman, Karla L., et al. "Traveling Salesman Problem." *Encyclopedia of Operations Research and Management Science*, 2013, pp. 1573–1578, link.springer.com/referenceworkentry/10.1007%2F978-1-4419-1153-7_1068, https://doi.org/10.1007/978-1-4419-1153-7_1068

- [3] "Teoria Dei Grafi." "Graph - Encyclopedia of Mathematics." *Encyclopediaofmath.org*, 2023, encyclopediaofmath.org/wiki/Graph
- [4] Held, Michael, and Richard M. Karp. "The Traveling-Salesman Problem and Minimum Spanning Trees." *Operations Research*, vol. 18, no. 6, Dec. 1970, pp. 1138–1162, <https://doi.org/10.1287/opre.18.6.1138>. Accessed 29 Mar. 2022.
- [5] Scholz, Jan. *GENETIC ALGORITHMS and the TRAVELING SALESMAN PROBLEM a HISTORICAL REVIEW*.
- [6] Little, John D. C., et al. "An Algorithm for the Traveling Salesman Problem." *Operations Research*, vol. 11, no. 6, Dec. 1963, pp. 972–989, <https://doi.org/10.1287/opre.11.6.972>. Accessed 10 Apr. 2020.
- [7] Applegate, David, et al. "Implementing the Dantzig-Fulkerson-Johnson Algorithm for Large Traveling Salesman Problems." *Mathematical Programming*, vol. 97, no. 1, July 2003, pp. 91–153, www.math.uwaterloo.ca/~bico/papers/dfj_mathprog.pdf, <https://doi.org/10.1007/s10107-003-0440-4>.
- [8] Helbig Hansen, Keld, and Jakob Krarup. "Improvements of the Held—Karp Algorithm for the Symmetric Traveling-Salesman Problem." *Mathematical Programming*, vol. 7, no. 1, Dec. 1974, pp. 87–96, <https://doi.org/10.1007/bf01585505>.
- [9] Huang, Ting, et al. "A Niching Memetic Algorithm for Multi-Solution Traveling Salesman Problem." *IEEE Transactions on Evolutionary Computation*, 2019, pp. 1–1, <https://doi.org/10.1109/tevc.2019.2936440>.
- [10] Jeong, Ho Young, et al. "Truck-Drone Hybrid Delivery Routing: Payload-Energy Dependency and No-Fly Zones." *International Journal of Production Economics*, vol. 214, Aug. 2019, pp. 220–233, www.sciencedirect.com/science/article/abs/pii/S0925527319300106, <https://doi.org/10.1016/j.ijpe.2019.01.010>.
- [11] potassco. "Release Potassco Guide Version 2.2.0 · Potassco/Guide." *GitHub*, 15 Jan. 2019, github.com/potassco/guide/releases/tag/v2.2.0.
- [12] Tichakorn Wongpiromsarn, et al. "Formal Methods for Autonomous Systems." *Foundations and Trends® in Systems and Control*, vol. 10, no. 3-4, 1 Jan. 2023, pp. 180–407, <https://doi.org/10.1561/26000000029>
- [13] Drone Launch Academy. "AGL vs MSL: Meanings & Calculations (with Sample Questions)." *Drone Launch Academy*, 11 Nov. 2019, dronelaunchacademy.com/resources/the-difference-between-msl-and-agl/
- [14] Rossano D'Antonio. "In Arrivo La Consegna Amazon Con Drone in Basso Molise E Vicino Abruzzo." *Monteneronotizie.net*, 8 Oct. 2024, www.monteneronotizie.net/notizie/attualita/4542/in-arrivo-la-consegna-amazon-con-drone-in-basso-molise-e-vicino-abruzzo.
- [15] Ente Nazionale per l'aviazione civile. "Sottocategorie A1, A2, A3 - Ente Nazionale per l'Aviazione Civile." *Ente Nazionale per l'Aviazione Civile*, 15 May 2024, www.enac.gov.it/sicurezza-aerea/droni/categoria-aperta-open-category/sottocategorie-a1-a2-a3/
- [16] Bahabry, Ahmed, et al. "Low-Altitude Navigation for Multi-Rotor Drones in Urban Areas." *IEEE Access*, vol. 7, 2019, pp. 87716–87731, <https://doi.org/10.1109/access.2019.2925531>.
- [17] Chipade, Vishnu S., et al. "Systematic Design Methodology for Development and Flight Testing of a Variable Pitch Quadrotor Biplane VTOL UAV for Payload Delivery." <https://doi.org/10.1016/j.mechatronics.2018.08.008>.
- [18] Alsawy, Assem, et al. "An Image Processing Approach for Real-Time Safety Assessment of Autonomous Drone Delivery." *Drones*, vol. 8, no. 1, 1 Jan. 2024, p. 21, www.mdpi.com/2504-446X/8/1/21, <https://doi.org/10.3390/drones8010021>.
- [19] Wang, Jiacun. *Formal Methods in Computer Science*. CRC Press, 21 June 2019.